

粒子物理前沿卓越 创新中心答辩

中微子平台

孟月
上海交通大学
2020/12/5

目录

1. 个人介绍
2. 2020年度个人工作总结
 - PandaX-4T暗物质实验
 - JUNO中微子实验
 - 极低放射性本底测量技术研发
3. 论文
4. 会议报告+科普
5. 基金申请
6. 团队组建+学生培养
7. 计划

1. 个人介绍

教育经历

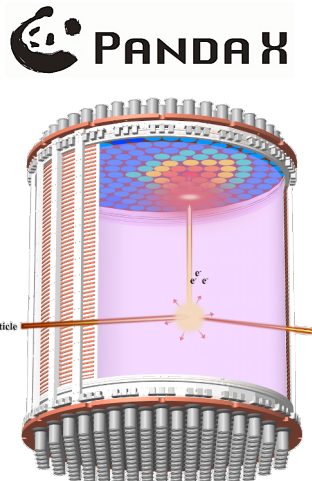
2004.08 - 2008.07 哈尔滨工业大学，学士学位
2008.08 - 2014.08 美国弗吉尼亚理工大学，博士
导师: Jonathan Link
毕业论文: The Daya Bay Reactor Neutrino Experiment

工作经历

2014.09 – 2018.10 美国阿拉巴马，博士后
LUX-ZEPLIN(LZ)暗物质实验
导师: Jerry Busenitz and Andreas Piepke
2018.11 – 至今 上海交通大学，助理教授

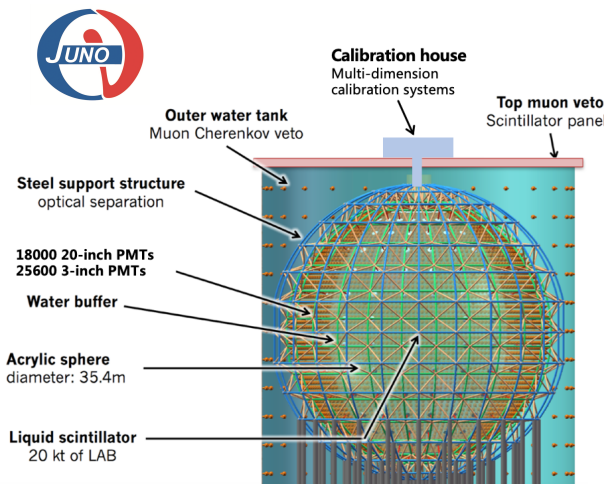
研究方向

暗物质直接探测(PandaX-4T)



气液两相型氙探测器

中微子性质测量(JUNO)



液体闪烁体探测器

极低放射性测量技术

- 高纯锗探测器
- 氦气测量系统
- 氚测量系统
- ICPMS
- Alpha探测器
- 水氚测量系统
- 中子活化分析

2. 2020年度个人工作总结 -- PandaX-4T暗物质实验



建设四川锦屏二期(B2厅)低本底实验空间和配套设施

氡气含量:

$0.09 \pm 0.19 \text{ Bq/m}^3$

($<0.4 \text{ Bq/m}^3$ at 90% C.L.)

实验大厅中的氡的含量大约
为 110 Bq/m^3



空气除氡系统



千级洁净间

水放射性测量:

	Th-232 [ppt]	U-238 [ppt]
原水	0.279 ± 0.036	142.1 ± 0.6
高纯水	0.064 ± 0.016	0.030 ± 0.001
水屏蔽体水	0.137 ± 0.025	0.351 ± 0.014



超纯水系统



万级洁净间

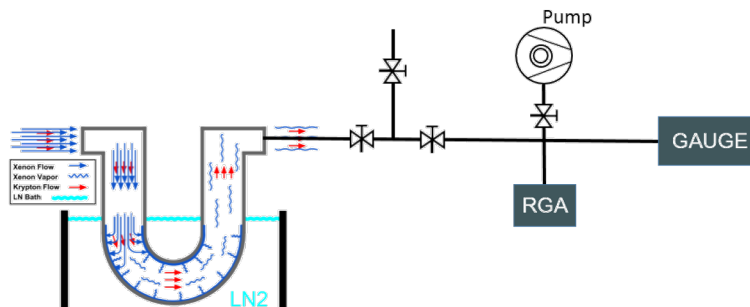
2. 2020年度个人工作总结 -- PandaX-4T暗物质实验



氪测量系统



氪测量系统



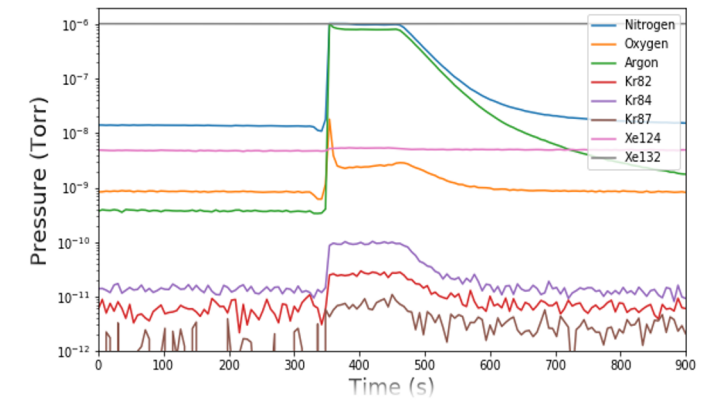
氪测量系统结构图

系统作用

测量氙气中的杂质氪气的浓度，给PandaX-4T实验5.7吨氙气纯度提供保证。系统目前放置在锦屏地下实验室。

系统介绍

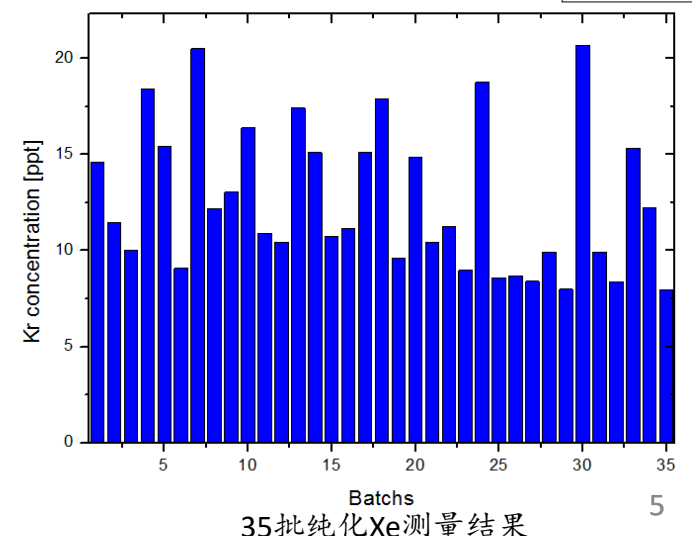
氪测量系统利用冷阱富集技术和质谱仪(Residual Gas Analyzer)来监测超痕量的氪杂质，测量灵敏度可达**7.99 ppt (@90% C.L.)**。同时也可以监控氮气、氧气和氩气等杂质的相对浓度。



气体组分分压测量图

	Original xenon	71 h
Final Result	1952.75 ± 129.65 ppt	<7.96 ppt@90%C.L.

upper limit

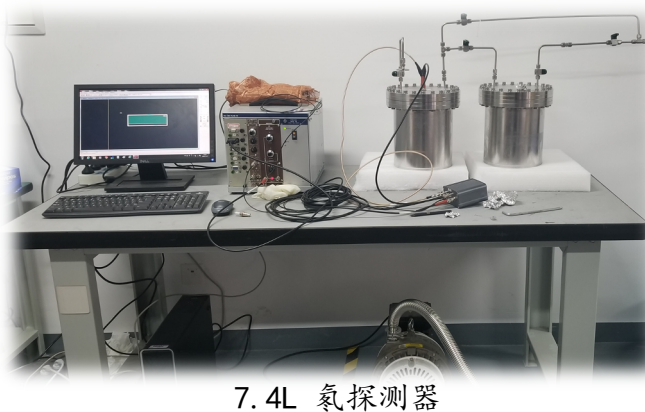


35批纯化Xe测量结果

2. 2020年度个人工作总结--PandaX-4T暗物质实验



氡测量系统



7.4L 氡探测器



冷阱富集系统

系统作用

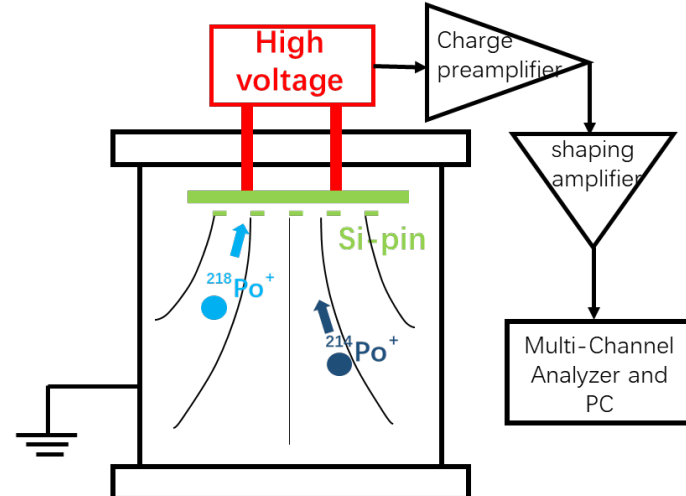
测量材料本身氡射气发散率，为探测器建设甄选低氡析出率的材料，降低ER本底，目前放置在上海交通大学

系统介绍

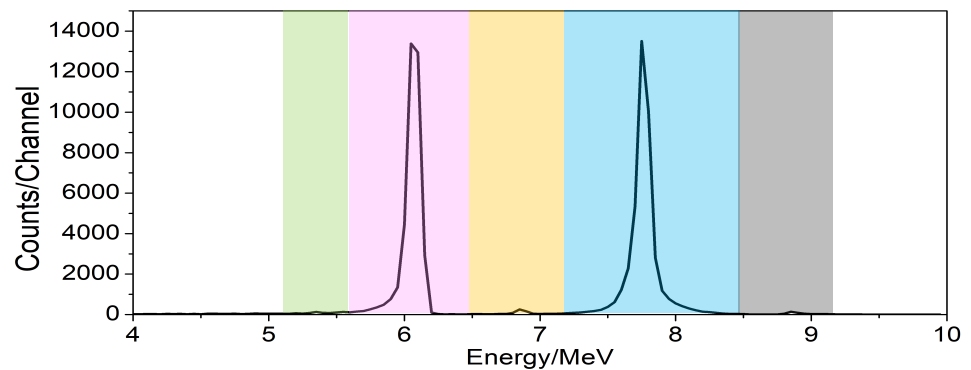
氡气可以衰变成带正电的Po-218和Po-214，其阿尔法的能量分别为 6.1 MeV 和 7.8 MeV ，可以通过利用Si-PIN光电二极管和静电收集氡子体方法来测量氡子体衰变率，进而反推材料中的氡气活度。

7.4L氡气探测系统灵敏度达到 $1.26 \pm 0.16 \text{ mBq}$

冷阱富集测量系统最小探测活性可达到 $0.05 \pm 0.03 \text{ mBq} (< 0.10 \text{ mBq} @ 90\% \text{ C. L.})$



探测器原理图

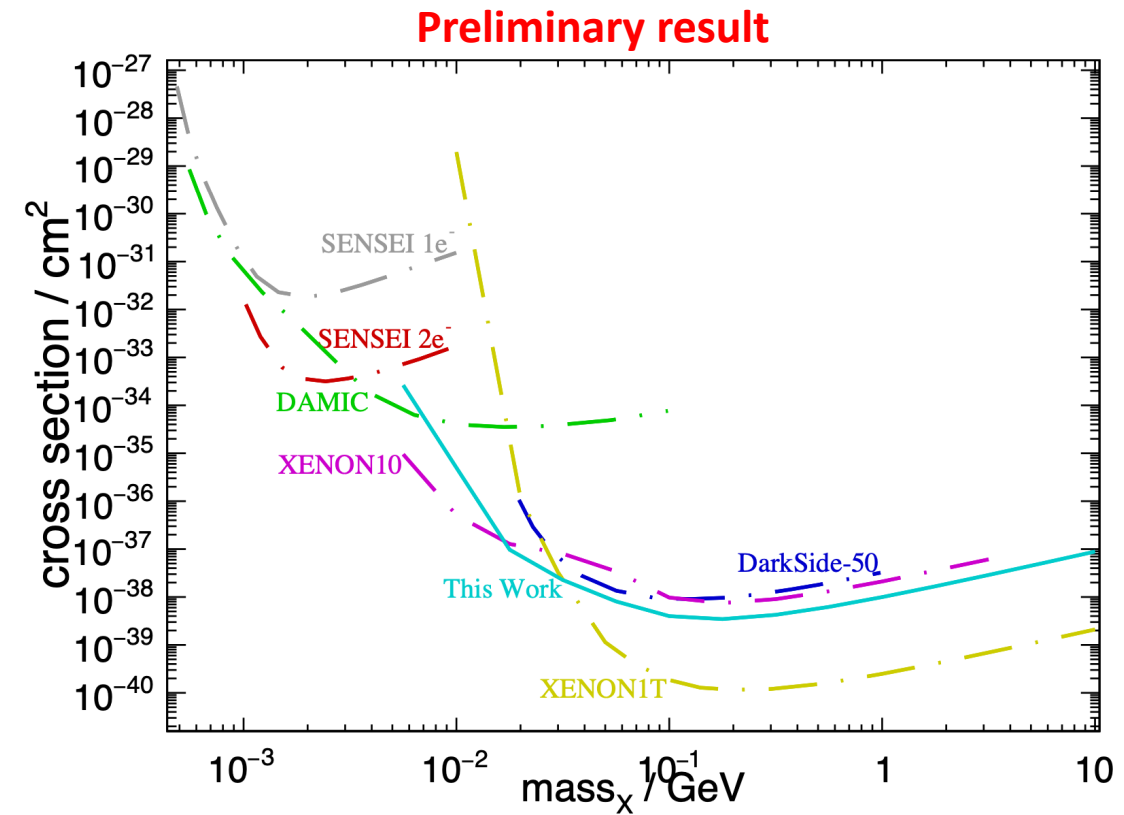
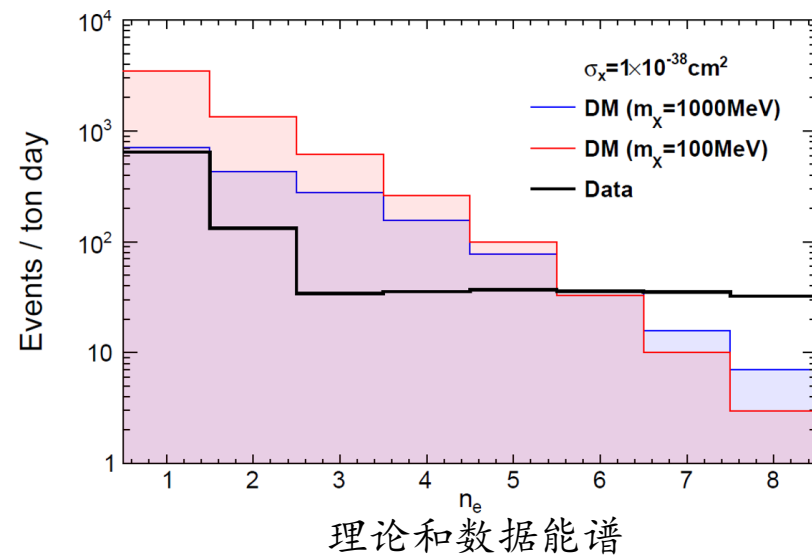
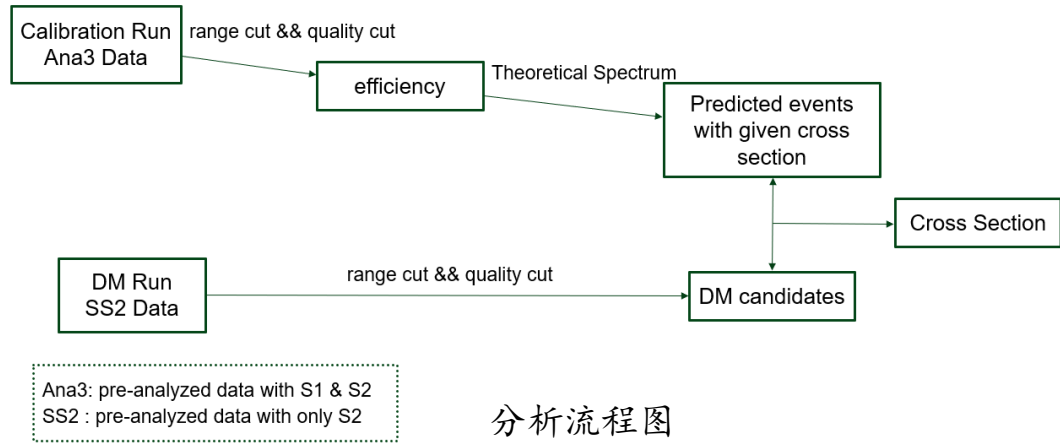


2. 2020年度个人工作总结--PandaX-4T暗物质实验



PandaX-II 电子-WIMP 相互作用分析

- Sub-GeV light dark matter interaction search (S2 only analysis)



2. 2020年度个人工作总结 -- JUNO中微子实验



JUNO刻度系统

推进刻度子系统R&D:

Automatic Calibration Unit (ACU)

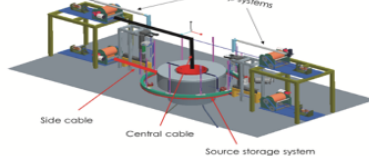
- 1D central axis scan with gamma sources, neutron sources and laser automatically



ACU prototype

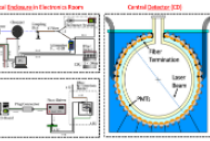
Calibration house

- Source storage, motors to control CLS system, ROV rail, etc



AURORA (A Unit for Researching Online the LS transparency)

- Monitor and determine LS attenuation length, scattering length and absorption length with laser system



Guide Tube Calibration System (GTCS)

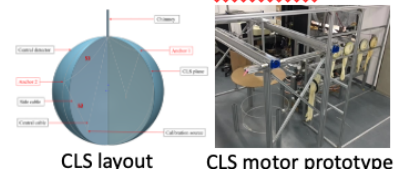
- Calibrate boundary area and provide boundary condition for the CD



1:1 GTCS prototype

Cable Loop System (CLS)

- 2D plane source scan with cable loops assembled on both semisphere sides



CLS layout CLS motor prototype

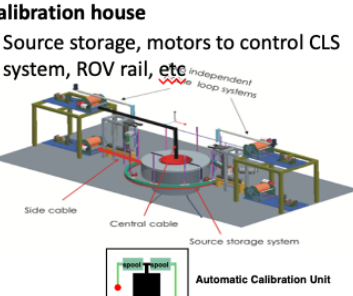
Remotely Operated Vehicle (ROV)

- 3D source scan with a self-driven vehicle unit

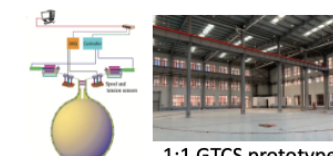


ROV water test

ROV



- Calibrate boundary area and provide boundary condition for the CD



1:1 GTCS prototype

Ultrasonic sensor system (USS) and CCD

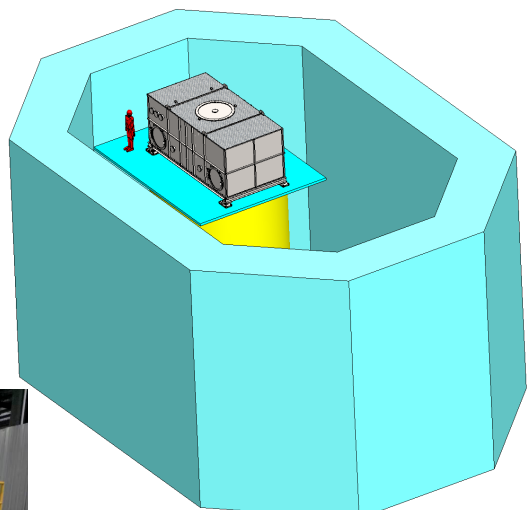
- positioning ROV and CLS



USS prototype CCD prototype

JUNO刻度系统整合测试+dayabay探测器

- 放射源物理性质验证
- 子系统机械运动测试
- 多系统联调
- 辅助系统优化



Layout of Daya Bay EH2 AD3
and JUNO calibration house

2. 2020年度个人工作总结 -- JUNO中微子实验



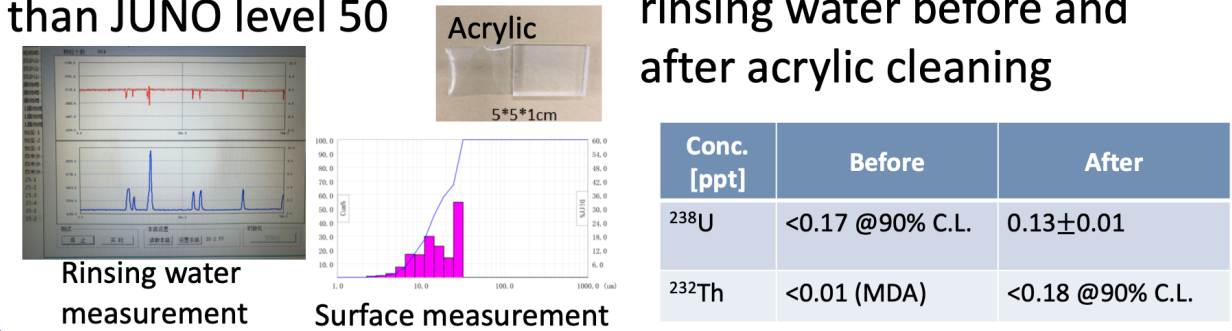
放射性控制

如何洗?



如何验证洗干净了?

1. Conductivity monitoring
Measured resistivity of rinsing water before and after cleaning is less than $4\text{M}\Omega\cdot\text{cm}$
2. Light absorption spectra
UV-Vis Spectra, UV-2550
3. Particulate counting, better than JUNO level 50
4. ICP-MS measurement, the rinsing water before and after acrylic cleaning





2. 2020年度个人工作总结 - 低本底测量技术研发

HPGe(CJPL-I)



Kr counting station(CJPL-II)

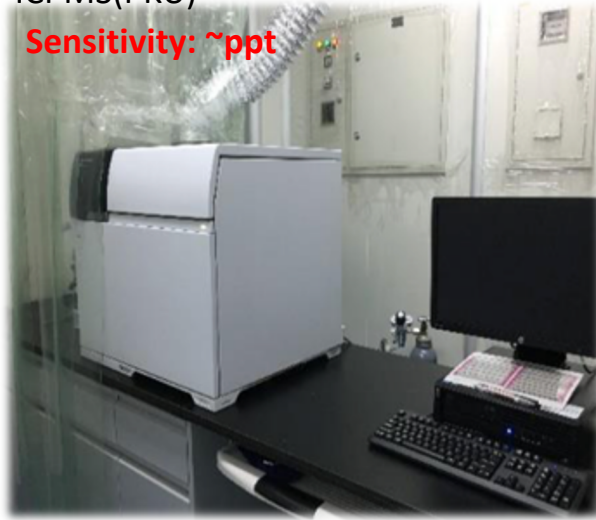


Sensitivity: ~10ppt

放射性测量技术研发

ICPMS(PKU)

Sensitivity: ~ppt



Radon emanation measurement system(SJTU)

Sensitivity: ~2mBq



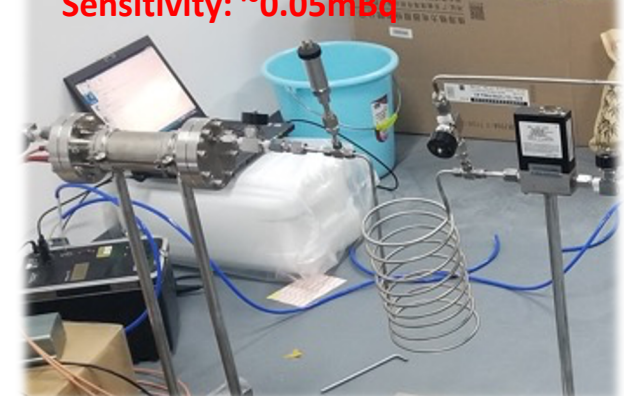
Alpha detector(SJTU)

Sensitivity: 0.1 mBq



Cold trap radon emanation system(SJTU)

Sensitivity: ~0.05mBq

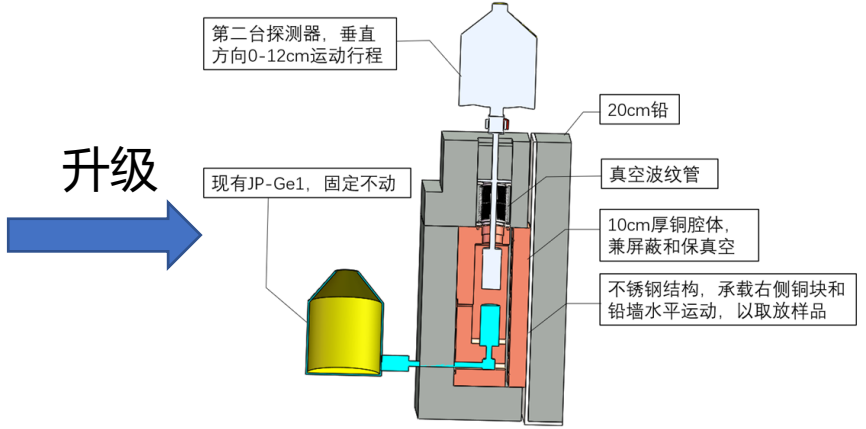




2. 2020年度个人工作总结 -- 低本底测量技术研发

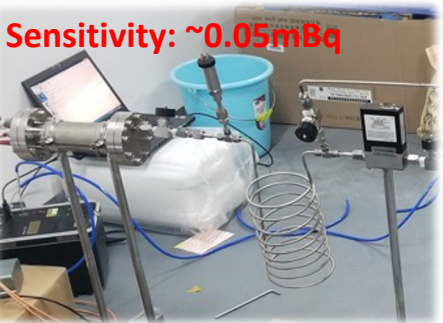
放射性测量技术升级

HPGe Ge1 → double Ge detectors

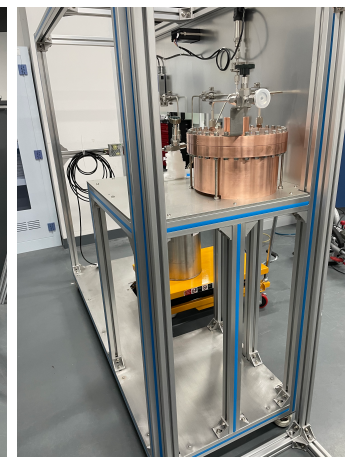


D=10cm,H=1cm的Teflon样品模拟			
核素	JP-Ge1 MDA(mBq)	双探头MDA(mBq)	双探头/JP1-Ge1
Co60	0.404	0.426	105.43%
Cs137	0.354	0.275	77.58%
K40	8.103	5.672	70.00%
Th232_Ac228	1.512	1.303	86.17%
Th232_Th228	0.985	0.798	81.06%
U235	1.348	0.959	71.19%
U238_Ra226	12.875	9.056	70.33%
U238_Rn222	0.907	0.759	83.74%
Pb210	15.274	8.319	54.47%
Am241	0.953	0.747	78.41%

Radon emanation measurement system



升级



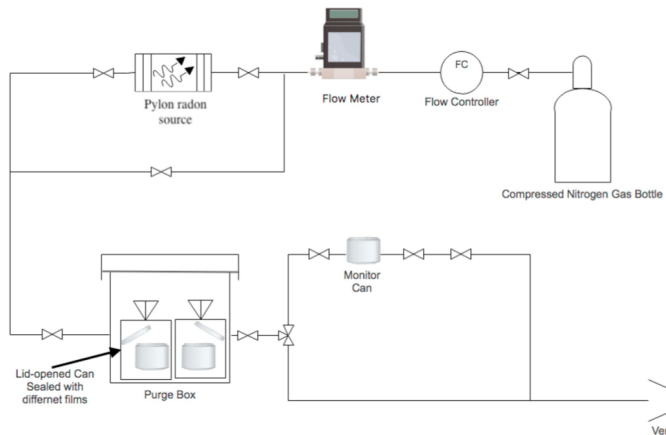
1. Low background copper counting chamber

	Th-232(10^{-12} g/g)	U-238(10^{-12} g/g)
Cu1	<5.22	9.25 ± 1.54
Cu2		1.07 ± 0.21

2. Optimized cold trap
3. Optimized electric field
4. Upgraded pre-amp

3. 论文

- A New Method for Evaluating the Effectiveness of Plastic Packaging Against Radon Penetration, **Yue Meng, Jerry Busenitz and Andreas Piepke, Applied Radiation and Isotopes 156 (2020) 108963, 2020.3**



Properly corrected measured ratios of radon concentrations inside and outside of bags made from the materials listed here.

Bag material	R'	Film thickness [μm]
Polypropylene	0.856 ± 0.004	101.6
Transparent Mylar	0.0005 ± 0.0002	76.2
Metallized Mylar-Type 1	0.0004 ± 0.0001	63.5
Metallized Mylar-Type 2	0.0009 ± 0.0002	101.6
Metallized Mylar-Type 3	0.0017 ± 0.0002	109.2
PFA	0.99 ± 0.01	50.8
FEP	0.097 ± 0.001	127.0
Nylon	0.0077 ± 0.002	50.8

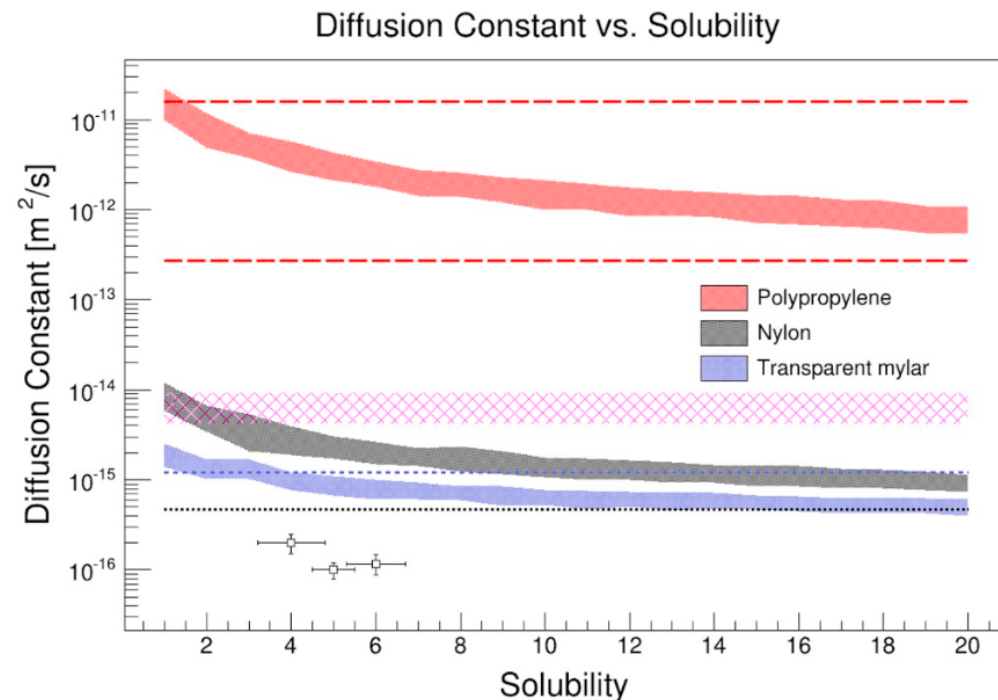
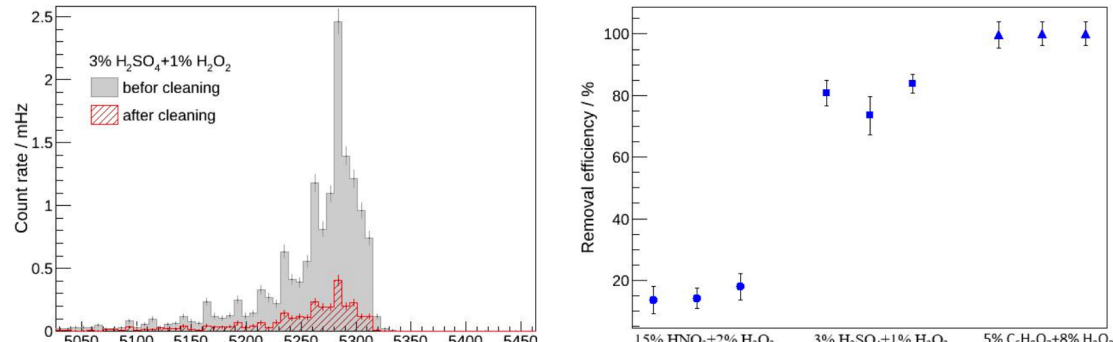


Fig. 5. Diffusion constants versus solubility of polypropylene (red band), Nylon (black band) and transparent Mylar (blue band), estimated from the data presented in this paper. Also shown (by points, lines, and hatched bands) are results from previous measurements.

3. 论文

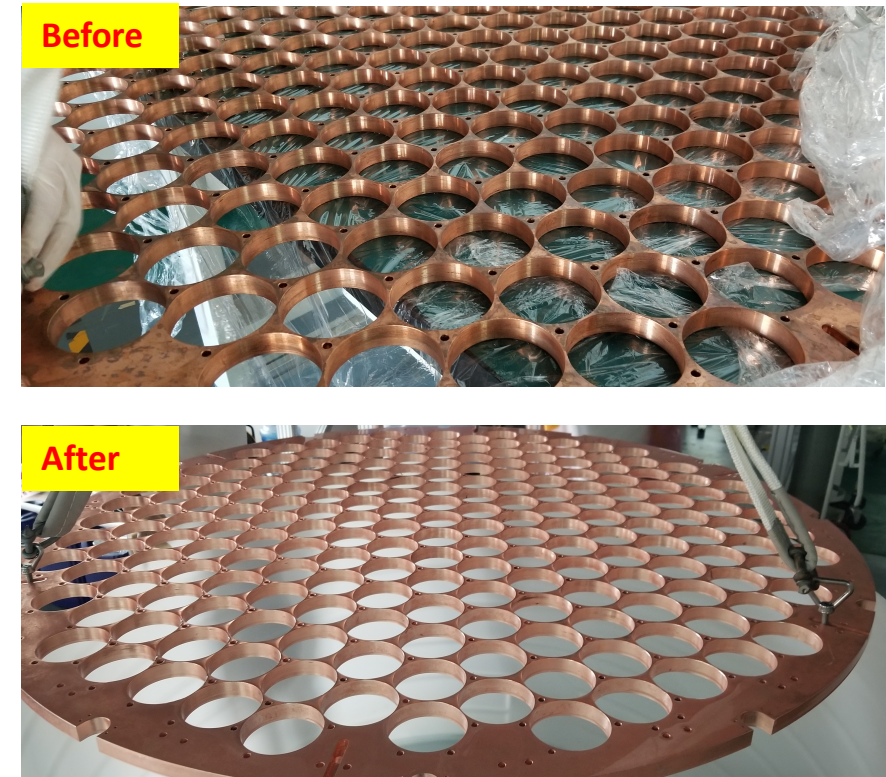
- Investigation of Radioactive Radon Daughters Removal Methods from Copper Surface FU Mengting, WANG Siguang, CHENG Chen, MENG Yue (corresponding author), QIAN Zhicheng, NING Xuyang, SI Lin, WU Mengmeng, YAO Yukun, submitted to Nuclear Techniques, 2020



氡子体去除测量和比较

铜样品 Copper sample	序号 Number	^{232}Th 含量 ^{232}Th conc. $/ \text{pg} \cdot \text{g}^{-1}$	^{232}Th 检出限 ^{232}Th detection limit $/ \text{pg} \cdot \text{g}^{-1}$	^{238}U 含量 ^{238}U conc. $/ \text{pg} \cdot \text{g}^{-1}$	^{238}U 检出限 ^{238}U detection limit $/ \text{pg} \cdot \text{g}^{-1}$
内部 Bulk	1	182.80 ± 18.07	18.23	246.80 ± 32.13	3.51
	2	68.80 ± 26.48	10.96	455.20 ± 20.42	2.11
	3	97.52 ± 24.01	8.93	230.35 ± 14.69	1.72
	4	96.01 ± 6.44	7.65	40.28 ± 5.00	1.47
	5	52.41 ± 14.26	8.80	47.07 ± 4.37	1.70
表面 Surface	1	68.39 ± 12.54	9.26	58.18 ± 4.45	1.78
	2	106.57 ± 22.39	5.16	34.54 ± 4.84	0.99
	3	42.93 ± 13.58	3.60	283.06 ± 12.84	0.69
	4	9.17 ± 7.29	6.40	23.42 ± 6.49	1.23
	5	47.18 ± 8.60	4.96	38.08 ± 6.38	0.90

铜内部和处理铜表面的 ^{232}Th 和 ^{238}U 的含量



3. 论文

- The LUX-ZEPLIN (LZ) radioactivity and cleanliness control programs, LZ collaboration, arXiv:2006.02506, Accepted by JINST (2020) (**Meng contributed radon emanation measurement, Ge assay, NAA and ICPMS measurement.**)

HPGe

Detector	FWHM [keV]	Integral (60 - 2700) keV [kg ⁻¹ .day ⁻¹]	Tl-208 [kg ⁻¹ .day ⁻¹]	Bi-214 [kg ⁻¹ .day ⁻¹]	Co-60 [kg ⁻¹ .day ⁻¹]	K-40 [kg ⁻¹ .day ⁻¹]	Pb-210 [kg ⁻¹ .day ⁻¹]
Belmont	1.92	135.0	0.3	1.4	1.6	1.0	-
Merrybent	1.87	167.4	0.4	1.8	0.6	1.9	-
Lunehead	1.86	582.4	2.0	4.7	1.5	9.2	-
Roseberry	1.58	181.1	<0.4	<0.4	0.6	0.7	0.3
Chaloner	1.56	1053.0	1.7	9.5	1.2	8.3	1.7
Lumpsey	1.66	4256.8	12.2	60.3	1.6	7.0	13.7
MERLIN	3.59	68868.3	9.7	7.5	-	20.0	80.2
MAEVE	3.19	956.1	1.8	1.4	0.5	3.5	49.6
MORGAN	2.68	1338.8	3.2	8.8	3.8	4.8	4.6
MORDRED	2.44	2103.2	2.1	3.9	1.6	7.4	29.0
SOLO	5.52	786.9	-	3.3	-	-	-
Ge-II	3.6	9600	<1.4	3.6	10.3	2.3	-
Ge-III	2.71	8600	<0.5	9.6	1.7	2.5	1.6

Radon emanation

Detector	Type	Chamber Volumes [L]	Chamber Blank Rates [mBq]	Transfer Efficiency [%]	Detector Efficiency [%]	Cross-Calibration [Measured/EXO-activity]
SDSM&T	PIN-diode	13	0.2	94	25	0.89±0.15
		300	0.2	80		1.11±0.28
Maryland	PIN-diode	4.7	0.2	96	24	1.13 ± 0.19
		2.6	0.2	97	30	1.49±0.15
UCL	PIN-diode	2.6	0.4	97		
		2.6	<0.4	34	36	0.83±0.17
Alabama	Liquid Scint.	2.6				
		2.6				

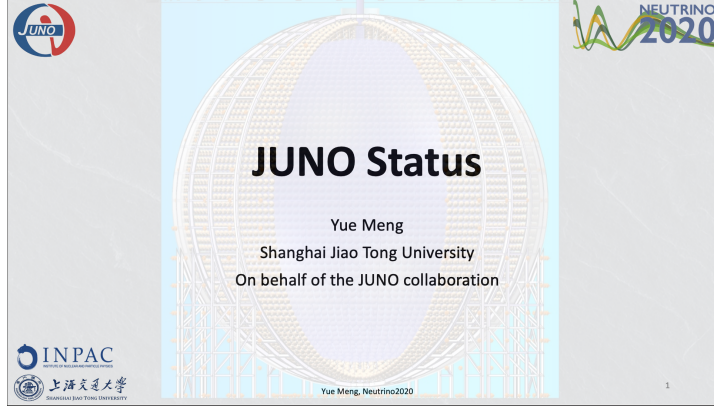
ICPMS

Sample	Supplier	Detector	Units	²³⁸ U	²³² Th
Polystyrene Foam	Styrodure	UCL	mBq/kg	3.3(10)	0.57(21)
Forward Field Region Titanium Weld Sample	Timet	UCL	mBq/kg	2.1(2)	0.14(4)
Forward Field Region Titanium Weld Sample	Timet	UCL	mBq/kg	2.4(3)	4.3(2)
Ti weld sample from CHAMP; Material Adjacent To Weld	Timet	UCL	mBq/kg	2.3(4)	0.59(13)
Ti weld sample from CHAMP; Weld Material	Timet	UCL	mBq/kg	2.9(3)	15(1)
Multi-Layer Insulation	RUAG (Vienna)	University of Alabama	mBq/kg	14(2)	31(6)
Polyethylene Foam	Foam Factory	University of Alabama	mBq/kg	20(3)	2.6(4)
Titanium Plate 4 x 6 0.125	Timet	PNNL	mBq/kg	9.8(2)	0.09(1)
Misc					
SNO Acrylic	RPT	University of Alabama	mBq/kg	0.30(12)	0.36(7)
JUNO Acrylic	Juno Experiment	University of Alabama	mBq/kg	0.27(5)	0.03(1)
JUNO Acrylic	Juno Experiment	University of Alabama	mBq/kg	0.66(11)	0.15(2)
Outer Detector					
Outer Detector Tank Acrylic	Reynolds (from Thailand)	UCL	mBq/kg	0.04(4)	0.02(3)
Outer Detector Tank Acrylic	Reynolds	UCL	mBq/kg	0.11(11)	0.03(3)
Acrylic Sheet	Reynolds	University of Alabama	mBq/kg	0.13(3)	0.26(8)
Cast Acrylic Slab	Reynolds	University of Alabama	mBq/kg	0.31(5)	0.20(7)
Adhesive	Reynolds	University of Alabama	mBq/kg	-0.03(8)	0.06(4)

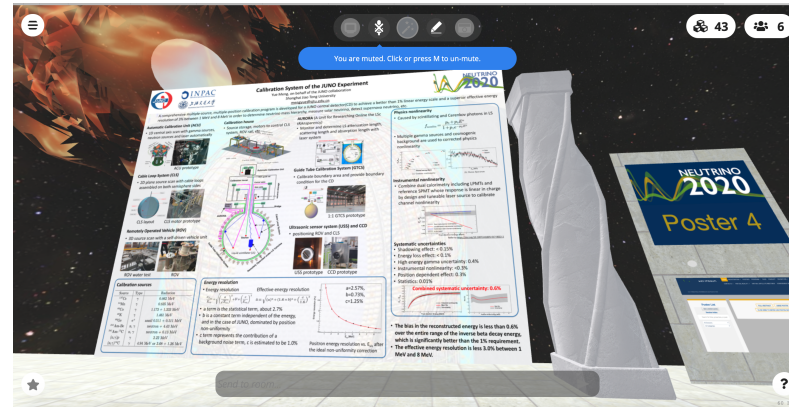
NAA

Sample	Supplier	Detector	Mass [g]	Units	²³⁸ U _e	²³² Th _e	⁴⁰ K
PMT Cabling							
Raw FEP Pellets	Axon	University of Alabama	3.1	mBq/kg	<0.017	0.036(4)	0.17(2)
Raw FEP Pellets	Axon	University of Alabama	3.1	mBq/kg	<0.052	0.037(5)	0.18(2)
FEP Inner Cable Jacket	Axon	University of Alabama	2.5	mBq/kg	<0.060	0.083(12)	5.1(5)
FEP Outer Cable Jacket	Axon	University of Alabama	2.6	mBq/kg	<0.024	0.096(12)	11(1)
TPC							
PTFE 8764 For Skin Region	Boedeker Plastics	University of Alabama	8.3	mBq/kg	0.018(5)	0.029(3)	0.018(4)
PTFE FLON008	Flontech	University of Alabama	2.8	mBq/kg	<0.027	0.051(6)	0.33(2)
Teflon NXT85	DuPont	University of Alabama	2.9	mBq/kg	<0.021	0.028(4)	0.122(1)
Teflon 807NX	DuPont	University of Alabama	2.8	mBq/kg	0.038(10)	0.029(4)	0.096(5)
PTFE 8764	Boedeker Plastics	University of Alabama	2.8	mBq/kg	<0.043	0.013(3)	0.066(4)

4. 会议报告+科普



JUNO status (invited talk)



Calibration System of the JUNO Experiment



Radioactive Cleanliness Control for the JUNO Experiment

暑期学校



探测宇宙中的变色龙: 中微子

Detecting the Chameleon of our Universe: Neutrinos

孟月

粒子物理与宇宙学重点实验室
物理与天文学院

2020李政道研究所暑期夏令营

中微子的来源

中微子的探测方法

中微子震荡参数测量

未来中微子方向

中微子的历史

中微子震荡现象

如何设计中微子实验

关于中微子的脑洞

科普

第71期若水畅坛(水工实验专场)



宇宙的“幽灵” --- 暗物质

孟月
PandaX暗物质实验组
上海交通大学物理与天文学院

2020/9/25



5. 基金申请

暗物质和中微子实验氦本底的测量与控制

浦江人才计划

上海市科学技术委员会

2019/10/1 – 2021/9/30

目标:

现今世界范围内对氦的测量和控制还没有达到预计的目标，测量手段的改进，新材料的应用，新的表面处理方法的研发将会从根本上改进发散氦和氦原子体沉积诱发的本底。此项目的研究结果可直接用于PandaX-4T暗物质实验和江门中微子实验(JUNO)，进一步可以拓展到其他国内的低本底实验中，为下一代吨级以及吨级以上探测器氦本底的控制提供参考和知识及硬件的储备。

硬件研发，样品测量

PandaX-4T暗物质实验本底的测量和分析

青年科学基金项目

国家自然科学基金委员会

2021/1-2023/12

目标:

- 结合材料放射性和模拟结果，直接计算探测器放射性本底
- 利用数据，实时分析惰性气体本底的贡献
- 利用新分析方法，实时采用高能伽马事例推出中子本底
- 研究wall事例的来源，建立概率密度函数，计算本底在信号区的泄露概率
- 总结PandaX-4T暗物质实验的各项本底贡献，并通过探测器信号模型建立本底事件的多维分布

数据分析

6. 团队组建+学生培养

博士



司琳(交大)



程晨(中山)



武蒙蒙(中山)



钱志成(交大)

硕士



付孟婷(北大)



姚玉坤(交大)



7. 计划

- PandaX-4T暗物质本底数据分析
- JUNO刻度系统Daya Bay现场安装调试
- JUNO安装过程的放射性控制
- Daya Bay退役拆除系统
- 低本底技术的升级改造
 - 升级：HPGe, 氦气测量系统, 氖气测量系统
 - 研发：水氦探测器研发

感谢各位老师